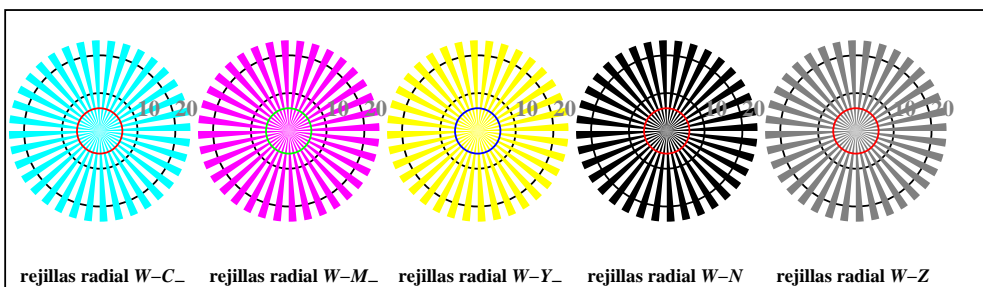


TS971-1, Fig. B4W-: 16 equidistant pasos W-C-; W-M-; W-Y-; W-N; *rgb/cmy0 set(rgb/cmyk)color*

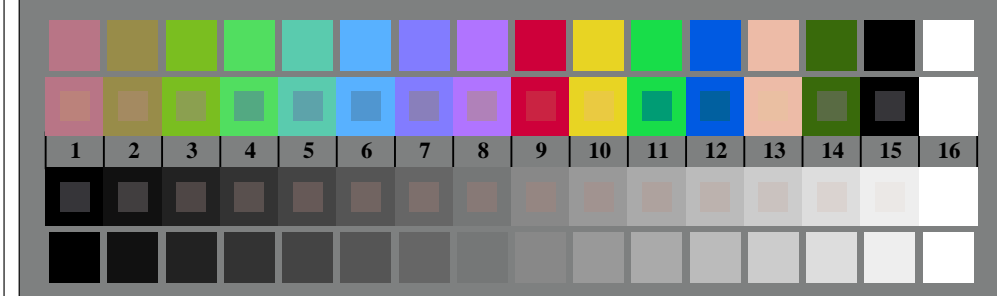
+-.:	○	○	○	○	C	lmno	○	○	○	○	pqrs	○	○	○	○	tuvw	○	○	○				
xyz;	○	○	○	○	○	hijk	○	○	○	○	lmno	○	○	○	○	pars	○	○	○				
tuvw	○	○	○	○	○	defg	○	○	○	○	hijk	○	○	○	○	immo	○	○	○				
pqrs	○	○	○	○	○	!abc	○	○	○	○	+-.:	○	○	○	○	hijk	○	○	○				
lmno	○	○	○	○	○	+-..:	○	○	○	○	xyz;	○	○	○	○	+-.:	○	○	○				
hijk	○	○	○	○	○	tuvw	○	○	○	○	defg	○	○	○	○	fabc	○	○	○				
defg	○	○	○	○	○	pqrs	○	○	○	○	!abc	○	○	○	○	xyz;	○	○	○				
!abc	○	○	○	○	○	6	N	C	M	Y	Z	defg	○	○	○	4	N	C	M	Y	Z		
10	N	C	M	Y	Z	8	N	C	M	Y	Z	6	N	C	M	Y	Z	8	N	C	M	Y	Z

TS971-3, Fig. B5W-: codigo y Landolt annilos N; C-; M-; Y-; Z; PS operator: *rgb setrgbcolor*

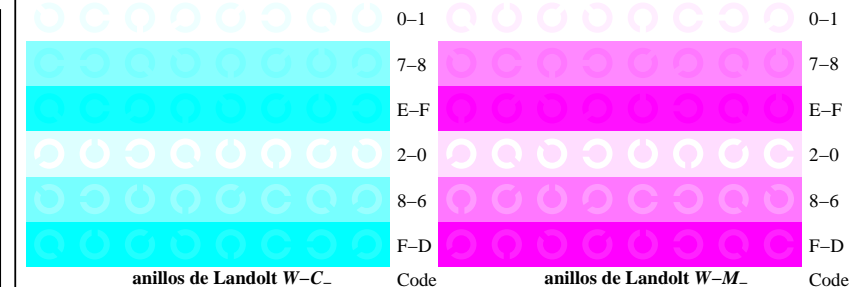


rejillas radial W-C- rejillas radial W-M- rejillas radial W-Y- rejillas radial W-N rejillas radial W-Z

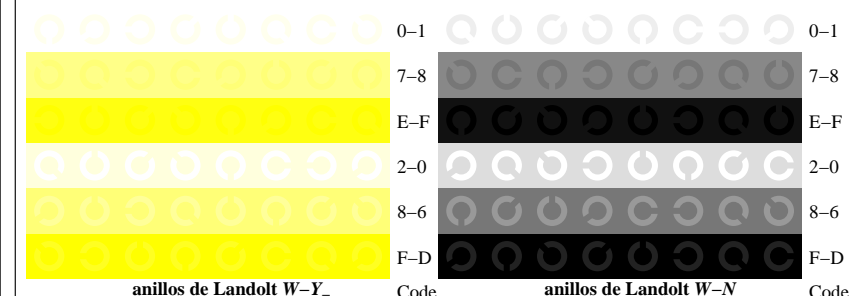
TS970-5, Fig. B2W-: rejillas radial W-C-; W-M-; W-Y-; W-N; PS operator: *rgb setrgbcolor*



TS970-7, Fig. B3W-: CIE 14 colores del test y 2 + 16 pasos de gris (sf); PS operator:*rgb/cmy0 set(rgb/cmyk)color*



TS971-5, Fig. B6W-: anillos de Landolt W-C-; W-M-; PS operator:*rgb setrgbcolor*



TS971-7, Fig. B7W-: anillos de Landolt W-Y-; W-N; PS operator:*rgb setrgbcolor*